

東京都立大学工学部

正負

安川

浩

”

正負

宇井

正和

1. 緒言. 貯水池から水力発電所に至る管路系における非圧縮性流体振動に
 関してはこれまで多くの優れた研究がなされているが、管路の急狭や急縮、あるいは
 管路内にオリフイス状の狭窄部を有する場合に、それらを明確に計算式に組み込む
 方法についてはあまり述べられていないように思われる。本報告では振動流装置を
 用いて測定した管内オリフイス及び急狭、急縮部分における圧力分布の諸側面
 を紹介し、それに基づき、連結管や、オリフイスを装着した管内の自由振動に
 対しては解析解を導き、最後にオリフイス状の三角形切欠きを有する管内流量制御弁
 からの非定常流量と境界条件として4本のライナーを有する管路系の水面振動に
 適用し、満足する結果が得られることを述べる。

2. 振動流による断面急変部の圧力

2.1 管内オリフイス

管径10cmの振動流装置に装着した口径5.0, 3.0, 1.0cmの管内オリフイスの狭窄部とオリフイス面との差圧を振動流の同期とオリフイス面上の測定値を変えて実測した結果、次の諸点から明らかなることは、

- i) オリフイス面上の圧力分布は事実上均一である。
- ii) 上記差圧は振動の速度水頭に比例する。
- iii) オリフイス表裏の差圧と速度水頭との比であるオリフイスの圧力降下係数はオリフイスの遮蔽率 $(1 - \frac{a}{A})$ を乗じたものは定常流におけるオリフイスの損失係数とほぼ等しい。

2.2 管路の急縮と急狭

管径10cm → 5cmの急縮部における圧力分布はオリフイスに同じと同様均一な分布を示し、急縮の前後における圧力差はやはり速度水頭に比例し、比例定数は運動量方程式から導かれる $C = 2(A/a)^2(1 - a/A)/\rho^2$ に基づく縮流係数 $\sigma = 0.8$ の場合に対応する。また管径5cm → 10cmの急狭部では、前者に比べてより顕著な圧力の急変は認められること。

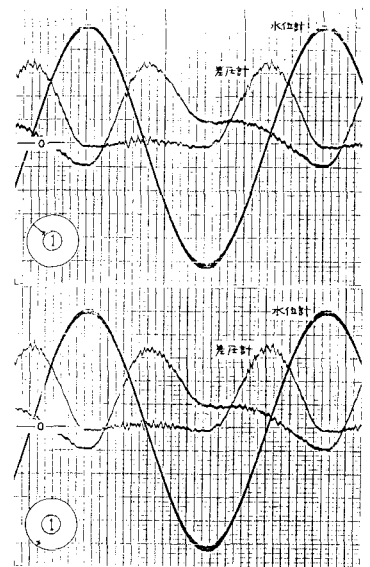


図1 オリフイス面上の2点の圧力

3. 断面急変部を考慮した連結管自由振動の解法

鉛直な側壁部の水面積が A_1, A_2 である2層の大水槽を直径 $2r_0$ 、長さ l の一様管で結ぶ連結管を考え、管軸は左から右への向きを正にとり、水槽壁の摩擦を無視し、両水面と一様管への出入口との間に運動量方程式と連続式を適用すれば、一様管両端における動水頭配分の差は次式で与えられる。

$$\begin{aligned} \left(\frac{P_1}{\rho g} + h_1\right) - \left(\frac{P_2}{\rho g} + h_2\right) &= -\left(\frac{a}{A_1} + \frac{a}{A_2}\right) \xi - \frac{1}{g} \left[\left(\frac{a}{A_1} H_1 + \frac{a}{A_2} H_2\right) \frac{d^2 \xi}{dt^2} - \left(\frac{a^2}{A_1^2} - \frac{a^2}{A_2^2}\right) \xi \frac{d^2 \xi}{dt^2} \right] \\ &\quad - \frac{1}{g} \left(\frac{a}{A_1} - \frac{a}{A_2}\right) \left(1 - \frac{a}{A_1} - \frac{a}{A_2}\right) v^2 - \frac{\omega_1 - \omega_2}{\rho g} \dots \dots \dots (3.1) \\ \therefore \omega_1 &= \frac{1}{A_1} \int_{A_1-a} (P_1 - P_2) dA, \quad \omega_2 = \frac{1}{A_2} \int_{A_2-a} (P_1 - P_2) dA \end{aligned}$$

一六. 一樣管路部の運動方程式 $\frac{\partial v}{\partial t} = gI + \frac{\rho_0}{\rho} \frac{\partial \xi}{\partial x}$. 疑似定常の仮定 $\frac{\partial \xi}{\partial t} = -\frac{f}{4r_0} v^2$
 測定結果は零と仮定 $(\omega_1 - \omega_2)/\rho g = C v^2/2g$ により係数 C を定義し次式を得た。

$$(\alpha + \beta \xi) \frac{d^2 \xi}{dt^2} + \frac{m}{2} \left(\frac{d\xi}{dt}\right)^2 + \xi = 0 \dots (3.2)$$

$$\begin{aligned} \text{但し } \tau_0 &= n\tau, \quad \xi_0 = \xi/r_0, \quad n^2 = \frac{g}{\rho} \left(\frac{a}{A_1} + \frac{a}{A_2}\right) \\ \alpha &= 1 + \left(\frac{a}{A_1} \frac{H_1}{\rho} + \frac{a}{A_2} \frac{H_2}{\rho}\right), \quad \beta = -\frac{\rho_0}{\rho} \left(\frac{a}{A_1} - \frac{a}{A_2}\right)^2 \\ m &= \frac{f}{2} + C \cdot \frac{\rho_0}{\rho} + 2 \frac{\rho_0}{\rho} \left(\frac{a}{A_1} - \frac{a}{A_2}\right) \left(1 - \frac{a}{A_1} - \frac{a}{A_2}\right) \end{aligned}$$

式(3.2)は積分因子 $\left(\xi + \frac{\alpha}{\beta}\right)^{\frac{m}{\beta}}$ により積分して ξ の極大値 Σ_0 なる始値の運動方程式。

$$\frac{d\xi}{dt} = \sqrt{\frac{2}{\beta+m} \left(\Sigma_0 - \frac{\alpha}{m}\right) \left\{ \left(\xi + \frac{\alpha}{\beta}\right)^{\frac{m}{\beta}} - \frac{\xi - \frac{\alpha}{m}}{\Sigma_0 - \frac{\alpha}{m}} \right\}} \dots (3.3)$$

初値の極小値 $\Sigma_1 (< 0)$ との間に次の関係式が導かれる。

$$-\frac{m}{\beta} \ln\left(\Sigma_1 + \frac{\alpha}{\beta}\right) - \ln\left(\Sigma_1 - \frac{\alpha}{m}\right) = -\frac{m}{\beta} \ln\left(\Sigma_0 + \frac{\alpha}{\beta}\right) - \ln\left(\Sigma_0 - \frac{\alpha}{m}\right) \dots (3.4)$$

3. 多数のライザーを有する管路内の水面振動

図3に示す下流から上流の管路及びライザーに示す流量 Q_i 及び水位 h_i は次式を満足する。

$$\left. \begin{aligned} \frac{dQ_i}{dt} &= \frac{gA_i}{\rho} (h_i - h_{i-1}) - \frac{g n_i^2}{A_i R_i^4} Q_i^2 \\ \frac{dh_i}{dt} &= \frac{1}{S_i} (Q_i - Q_{i-1}) \end{aligned} \right\} \dots (3.5)$$

下流端の流量制御弁操作時の非定常流量を定常流に示す流量係数を用いて近似し、RKF法により計算した結果の一例を図3に示す。ゲート操作時約1.8~20秒に亘り、実測の水面曲線と計算結果とは満足すべき一致を示した。

[謝辞]

本研究は下水管渠内の過渡現象に因りて東京都下水道局の委託研究に依りて行われ、終始温かい御指導を賜ったのは、都立大学、川口士郎教授に心よりの謝意を表しました。初当時完全無名で、東海林司及び福島義信の両君の熱心な協力に負う所大であったことと記してここに謝意を表しました。

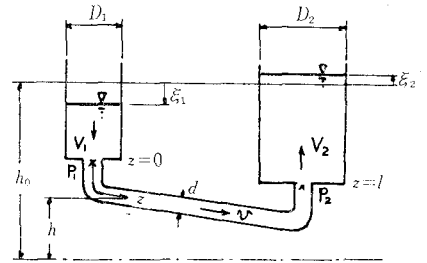


図2 流水の概況

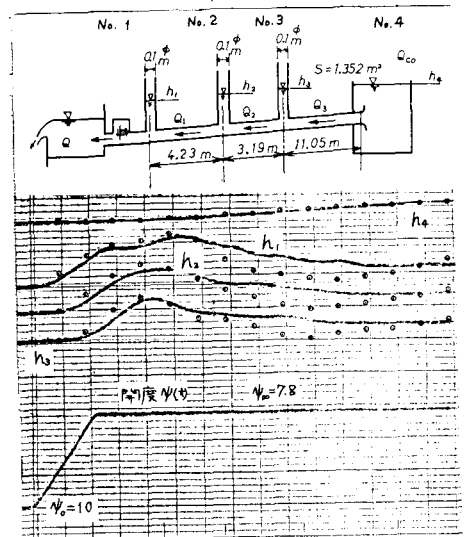


図3 実験値と計算値の比較